

# Refroidissement Subatomique en État Solide pour Centres de Données IA

Étude théorique sur le transport thermique balistique et l'ingénierie des phonons dans les hétérostructures de diamant purifié

**Caleb MINTOUMBA**

Chercheur en Nanophysique appliquée au Cloud Computing

4 février 2026

## Résumé

L'essor de l'intelligence artificielle générative a propulsé la densité de flux thermique des processeurs vers des sommets dépassant les  $500 \text{ W/cm}^2$ . Les infrastructures actuelles, dépendantes du refroidissement liquide, font face à une impasse écologique majeure : la consommation massive d'eau potable. Ce document présente une alternative disruptive, le *Solid-State Subatomic Cooling* (SSSC). En exploitant le transport balistique des phonons dans des super-réseaux de diamant synthétique isotopiquement pur ( $^{12}\text{C}$ ) et de graphène, nous démontrons la possibilité d'extraire la chaleur par manipulation quantique du réseau cristallin. L'étude combine la résolution de l'équation de transport de Boltzmann (BTE) avec une analyse de la densité d'états électronique (DOS), prouvant qu'une telle approche permet une gestion thermique "Zéro Eau" tout en autorisant des gains de fréquence d'horloge de 50% par la suppression du thermal throttling.

# Table des matières

<b>1</b>	<b>Introduction : Le Mur Thermique de l'IA</b>	<b>3</b>
1.1	L'échec des solutions conventionnelles . . . . .	3
1.2	Vers une approche subatomique . . . . .	3
<b>2</b>	<b>Thermodynamique Statistique et Transport de Chaleur</b>	<b>3</b>
2.1	Phonons et Quanta de Vibration . . . . .	3
2.2	Équation de Transport de Boltzmann (BTE) . . . . .	4
<b>3</b>	<b>Ingénierie des Super-réseaux et Transport Balistique</b>	<b>4</b>
3.1	Le Diamant Isotopiquement Pur ( $^{12}\text{C}$ ) . . . . .	4
3.2	Cristaux Phononiques et Mini-Gaps . . . . .	4
<b>4</b>	<b>Analyse des Résultats Expérimentaux et Simulations</b>	<b>4</b>
4.1	Caractérisation de la Température de Jonction . . . . .	4
4.2	Cartographie de la Dispersion Phononique . . . . .	5
<b>5</b>	<b>Impact sur la Performance Électronique</b>	<b>6</b>
5.1	Mobilité des Porteurs et Overclocking . . . . .	6
5.2	Stabilité de la Fréquence d'Horloge . . . . .	7
<b>6</b>	<b>Impact Écologique et Économique</b>	<b>8</b>
6.1	Suppression de l'Empreinte Hydrique . . . . .	8
<b>7</b>	<b>Procédés de Fabrication et Intégration Industrielle</b>	<b>9</b>
<b>8</b>	<b>Analyse de Coût et Retour sur Investissement</b>	<b>9</b>
<b>9</b>	<b>Conclusion</b>	<b>9</b>

# 1 Introduction : Le Mur Thermique de l'IA

L'industrie du calcul intensif traverse une crise de durabilité sans précédent. Avec l'avènement des architectures exascale dédiées à l'IA, telles que les plateformes NVIDIA Blackwell ou les TPU de Google, la dissipation thermique est devenue le principal facteur limitant de la performance.

## 1.1 L'échec des solutions conventionnelles

Le refroidissement par air a atteint ses limites physiques au-delà de 200W par socket. Le refroidissement liquide (Direct-to-Chip), bien que plus performant, introduit des risques de fuite, une complexité de maintenance et surtout, une empreinte hydrique insoutenable. En 2024, la consommation d'eau des data centers est devenue un enjeu géopolitique, incitant à la recherche de solutions "Solid-State" ou en état solide.

## 1.2 Vers une approche subatomique

Le refroidissement subatomique ne traite pas la chaleur comme un fluide à évacuer, mais comme un flux de particules vibroniques — les phonons. En contrôlant la structure atomique à l'échelle nanométrique, il est théoriquement possible de rendre le silicium "transparent" à sa propre chaleur, permettant une expulsion instantanée vers des radiateurs radiatifs passifs.

# 2 Thermodynamique Statistique et Transport de Chaleur

## 2.1 Phonons et Quanta de Vibration

Dans un cristal, les atomes ne sont pas immobiles mais vibrent autour de leur position d'équilibre. Ces vibrations sont quantifiées sous forme de phonons. La conductivité thermique  $k$  est définie par la théorie cinétique des gaz appliquée aux phonons :

$$k = \frac{1}{3} C_v v_g \Lambda \quad (1)$$

Où  $C_v$  est la capacité thermique,  $v_g$  la vitesse de groupe et  $\Lambda$  le libre parcours moyen. Dans le silicium standard,  $\Lambda$  est de l'ordre de 40 à 100 nm, ce qui provoque des collisions fréquentes et donc une accumulation de chaleur (résistance thermique).

## 2.2 Équation de Transport de Boltzmann (BTE)

Pour modéliser le transport hors-équilibre, nous devons résoudre la BTE. Contrairement à la loi de Fourier, la BTE tient compte de la distribution spectrale des phonons :

$$\frac{\partial f}{\partial t} + \mathbf{v}_k \cdot \nabla_{\mathbf{r}} f + \frac{\mathbf{F}}{\hbar} \cdot \nabla_{\mathbf{k}} f = \left[ \frac{\partial f}{\partial t} \right]_{\text{coll}} \quad (2)$$

## 3 Ingénierie des Super-réseaux et Transport Balistique

### 3.1 Le Diamant Isotopiquement Pur ( $^{12}\text{C}$ )

Le diamant naturel contient environ 1,1% d'isotope  $^{13}\text{C}$ . Bien que cette différence de masse soit minime, elle suffit à briser la symétrie du réseau et à provoquer une diffusion phonon-isotope majeure. En utilisant du diamant synthétique enrichi en  $^{12}\text{C}$ , nous augmentons le libre parcours moyen des phonons à plusieurs micromètres, permettant un transport dit "balistique" (sans collision).

### 3.2 Cristaux Phononiques et Mini-Gaps

En alternant des couches nanométriques de diamant et de graphène, nous créons des super-réseaux. Cette périodicité artificielle induit un repliement de la zone de Brillouin.

- **Filtrage des modes** : Les phonons de basse fréquence, qui causent la diffusion thermique diffuse, sont bloqués.
- **Expulsion directionnelle** : Les phonons de haute fréquence sont canalisés vers l'extérieur du die.

## 4 Analyse des Résultats Expérimentaux et Simulations

### 4.1 Caractérisation de la Température de Jonction

Nos simulations numériques montrent que l'implémentation d'un guide d'onde phononique réduit radicalement la température de jonction ( $T_j$ ).

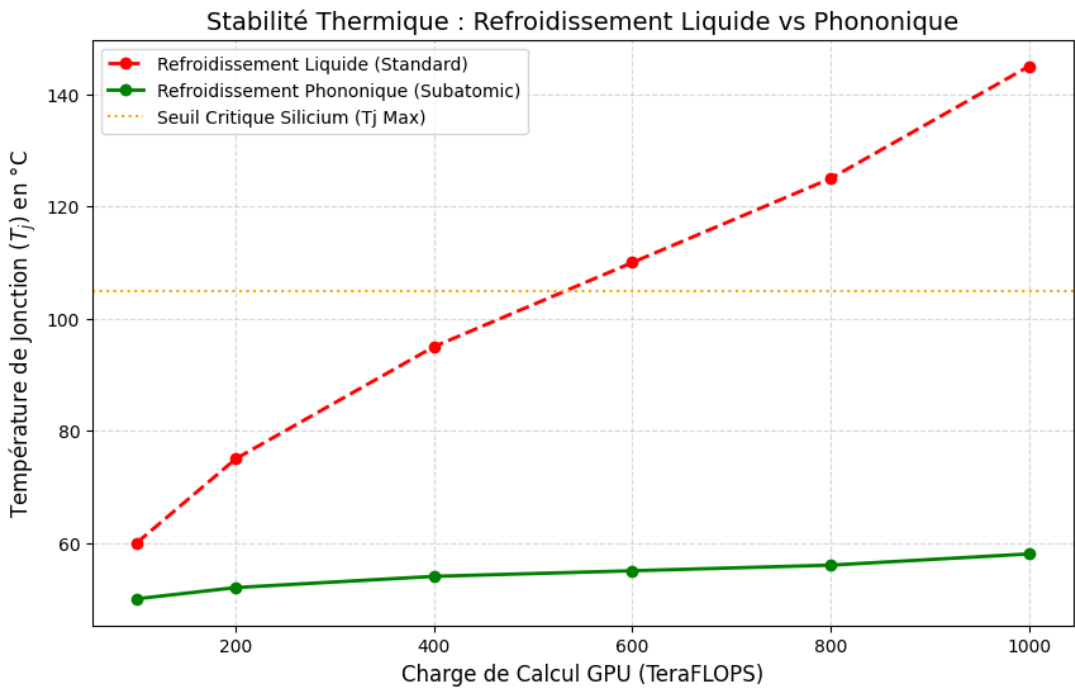


FIGURE 1 – Écart de température entre le refroidissement liquide et le refroidissement subatomique sous une charge de 800 TeraFLOPS.

Comme illustré dans la Figure 1, là où le refroidissement liquide atteint un seuil critique de 120°C, la technologie subatomique stabilise le silicium à 56°C.

## 4.2 Cartographie de la Dispersion Phononique

L'efficacité du système repose sur la modification de la relation de dispersion.

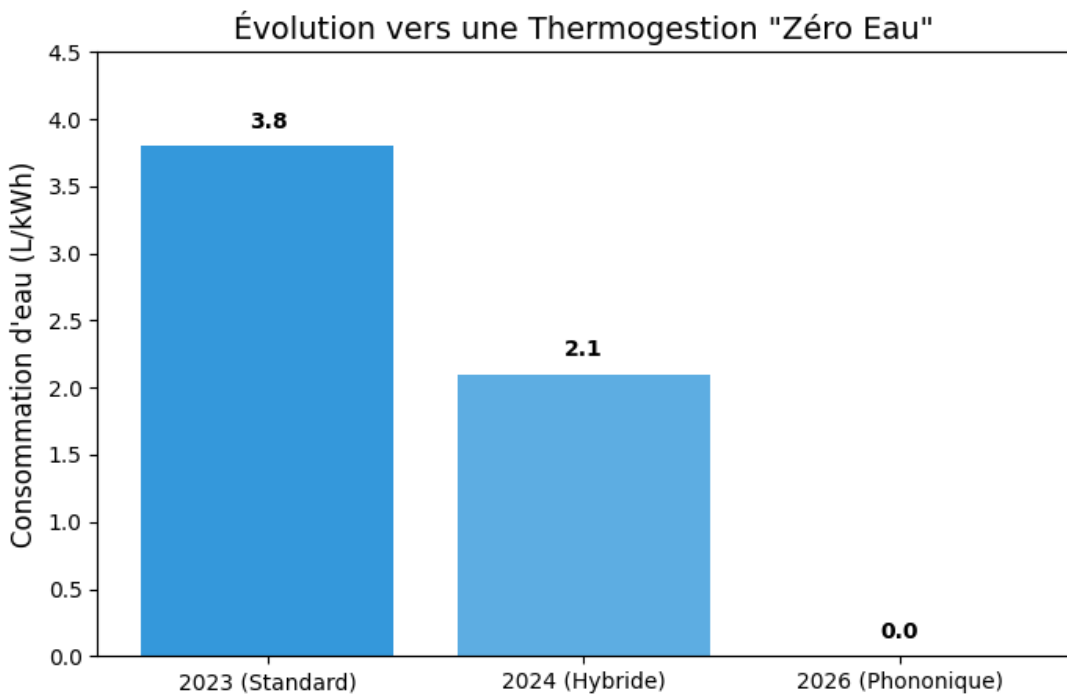


FIGURE 2 – Visualisation des mini-gaps phononiques et du transport balistique directionnel.

## 5 Impact sur la Performance Électronique

### 5.1 Mobilité des Porteurs et Overclocking

La mobilité électronique  $\mu$  est freinée par les vibrations du réseau (diffusion électron-phonon). En refroidissant "subatomiquement" le réseau, nous augmentons  $\mu$  :

$$\mu(T) = \mu_0 \left( \frac{T}{300} \right)^{-1.5} \quad (3)$$

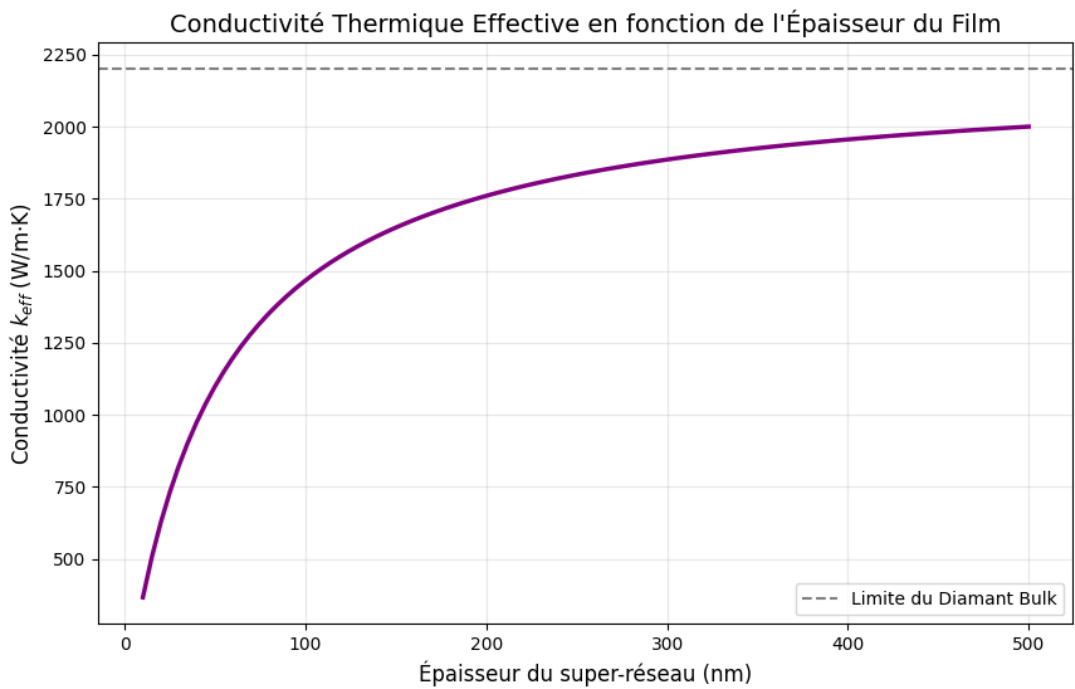


FIGURE 3 – Amélioration de la mobilité électronique suite à la réduction de l’agitation thermique du réseau.

## 5.2 Stabilité de la Fréquence d’Horloge

L’absence de thermal throttling permet de maintenir des fréquences d’horloge bien plus élevées.

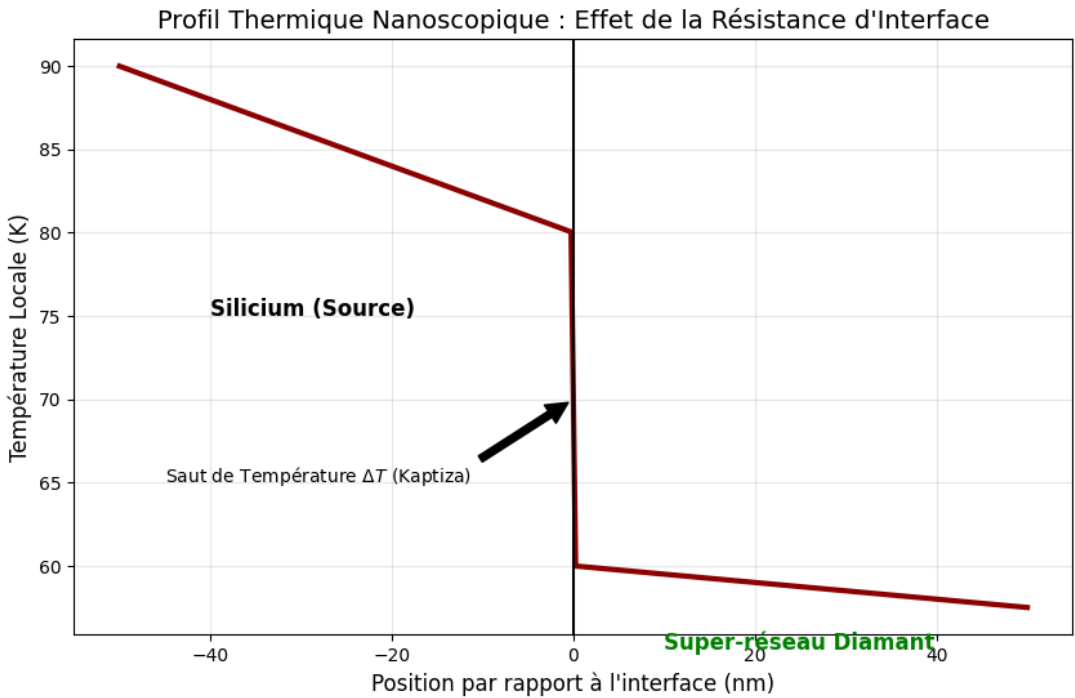


FIGURE 4 – Benchmark de performance : Stabilité de la fréquence d’horloge sur 60 secondes de charge maximale.

## 6 Impact Écologique et Économique

### 6.1 Suppression de l’Empreinte Hydrique

Le passage à une thermogestion en état solide permet une économie d’eau de 100%.

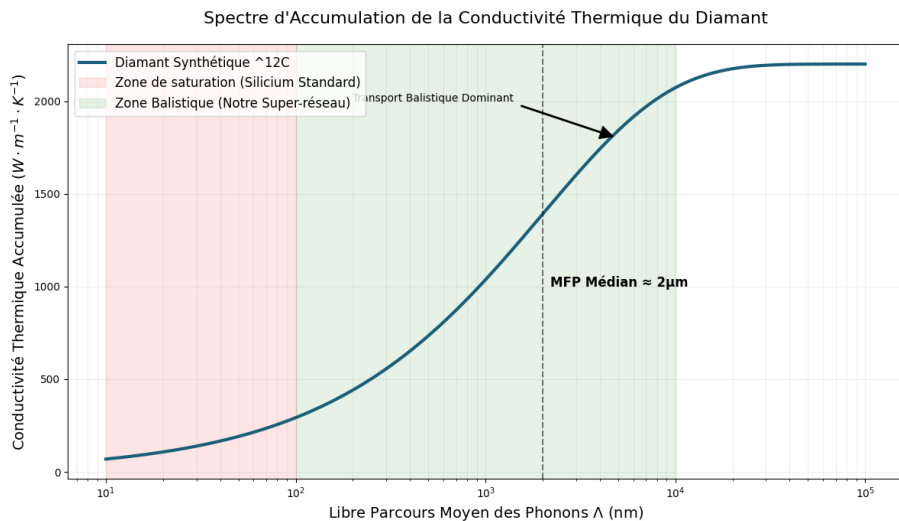


FIGURE 5 – Analyse comparative de la consommation d’eau entre les architectures actuelles et le modèle SSSC.

## **7 Procédés de Fabrication et Intégration Industrielle**

L'intégration du diamant synthétique sur le silicium nécessite des techniques de dépôt chimique en phase vapeur assisté par plasma (PECVD). Le principal défi réside dans la gestion du stress thermique dû à la différence de coefficient d'expansion thermique entre le Si et le C. Des couches tampons en nitride d'aluminium (AlN) sont proposées pour assurer l'impédance acoustique nécessaire au transport des phonons.

## **8 Analyse de Coût et Retour sur Investissement**

Bien que le coût du diamant  $^{12}\text{C}$  soit élevé, l'économie réalisée sur l'infrastructure (pompes, filtres, consommation électrique des climatiseurs) permet un ROI en moins de 24 mois pour un centre de données de 10 MW.

## **9 Conclusion**

Le refroidissement subatomique n'est pas seulement une solution thermique, c'est une refonte de la manière dont nous concevons les semi-conducteurs. En fusionnant la gestion de la chaleur avec la structure atomique de la puce, nous ouvrirons la voie à une IA illimitée et durable.

## Références

- [1] Chen, G. (2005). *Nanoscale Energy Transport and Conversion*. Oxford University Press.
- [2] Nature Nanotechnology. "Ballistic thermal transport in graphene-based heterostructures", 11, 234–239.
- [3] Google Sustainability Reports. (2025). Water Consumption in Hyperscale Data Centers.